

## ВЛИЯНИЕ ПРЕДВАРИТЕЛЬНОГО ОБЛУЧЕНИЯ НА ОБРАЗОВАНИЕ ТЕРМОДОНОРОВ В КРЕМНИИ

Маркевич В. П., Мурин Л. И.

Детально исследована кинетика накопления термодоноров (ТД) при  $T = 375^\circ\text{C}$  в кристаллах  $n\text{-Si}\langle\text{O}\rangle$ , облученных  $\gamma$ -квантами  $^{60}\text{Co}$ . Установлено, что предварительное облучение может приводить к существенному уменьшению начальной скорости генерации ТД. Данный эффект обусловлен радиационно-стимулированной «пассивацией» центров зарождения ТД.

В ряде работ [1–3], посвященных выяснению природы и механизма образования термодоноров (ТД) в кислородосодержащем кремнии, высказывались предположения об участии собственных дефектов решетки (вакансий  $V$  [1] и межузельных атомов  $I$  [2, 3]) в процессах формирования этих комплексов при  $T = 300$ – $500^\circ\text{C}$ . Это стимулировало проведение исследований влияния предварительного облучения и облучения в процессе термообработки (ТО) на образование ТД [4–9]. Авторы [4–7] не обнаружили существенного влияния предварительно введенных радиационных дефектов (РД) на процессы формирования ТД. В то же время в некоторых экспериментах по «горячему» облучению [8, 9] наблюдалось заметное снижение эффективности генерации ТД. Кроме того, в работе [10] было обнаружено влияние термодоноров на характер отжига РД в кристаллах  $n\text{-Si}\langle\text{O}\rangle$ , прошедших перед облучением ТО при  $450^\circ\text{C}$ . Следует отметить также обнаруженное авторами [11] существенное увеличение начальной скорости генерации ТД в предварительно облученных кристаллах  $n\text{-Ge}\langle\text{O}\rangle$ . В целом результаты [8–11] свидетельствуют о возможности взаимодействия РД и ТД в Si и Ge при повышенных температурах. Выяснение механизмов такого взаимодействия может дать ценную информацию как о природе, так и механизме образования самих термодоноров. В связи с этим в настоящей работе были проведены детальные исследования начальной кинетики формирования ТД в предварительно облученных кристаллах кремния.

Исследовались кристаллы  $n\text{-Si}$  ( $N_p = 2 \cdot 10^{14} \text{ см}^{-3}$ ), полученного методом Чохральского. Концентрации кислорода и углерода определялись по интенсивности соответствующих полос ИК поглощения с использованием градуированных коэффициентов 3.3 и  $1.1 \cdot 10^{17} \text{ см}^{-2}$  для O и C соответственно [12]. Для исследований подбирались образцы, вырезанные из верхней части слитка и характеризующиеся одинаковым содержанием кислорода [ $N_{\text{O}} = (9.6\text{--}9.8) \times 10^{17} \text{ см}^{-3}$ ] и углерода ( $N_{\text{C}} = 2 \cdot 10^{16} \text{ см}^{-3}$ ). Часть образцов облучалась  $\gamma$ -квантами  $^{60}\text{Co}$  при  $T = 80^\circ\text{C}$  ( $\Phi = 2.5 \cdot 10^{17} \text{ кВ/см}^2$ ). Изохронный ( $100$ – $400^\circ\text{C}$ ) и изотермический ( $375^\circ\text{C}$ ) отжиги проводились на воздухе. Концентрации РД и ТД определялись из измерений температурных ( $77$ – $400\text{ K}$ ) зависимостей концентрации носителей тока (ТЭКН). Поскольку термодоноры, образующиеся на начальных этапах ТО (ТД-1, ТД-2 и ТД-3), являются бистабильными и обуславливают высокую фоточувствительность материала, для определения их концентрации измерялись как темновые ТЭКН, так и ТЭКН в условиях слабой внешней подсветки [13].

Основными дефектами, образующимися при облучении  $n\text{-Si}$   $\gamma$ -квантами  $^{60}\text{Co}$ , являются  $A$ -,  $E$ -центры и углеродосодержащие комплексы  $C_I\text{--}C_S$  и  $C_I\text{--}O_I$  [14]. Относительная эффективность образования  $A$ - и  $E$ -центров опреде-

ляется соотношением концентраций кислорода и фосфора, а комплексов  $C_I-C_S$  и  $C_I-O_I$  — соотношением концентраций кислорода и углерода. При этом, как правило, соблюдается баланс дефектов вакансационного и межузельного типа. Наличие термодоноров в кристаллах Si не оказывает заметного влияния на процессы радиационного дефектообразования при  $T_{об} \sim 300$  К [4, 15].

Проведенные исследования показали, что вышеуказанные закономерности радиационного дефектообразования выполнялись и в нашем случае. Исследуемые исходные кристаллы содержали в небольших концентрациях ( $\sim 2.5 \times 10^{13}$  см $^{-3}$ ) так называемые ростовые термодоноры, т. е. термодоноры, образующиеся в процессе охлаждения выращиваемых слитков. Их содержание определялось по концентрации второго донорного уровня  $E$  (+/++) =  $E_c$  — 0.15 эВ. Облучение  $\gamma$ -квантами  $^{60}\text{Co}$  приводило к преимущественному введению

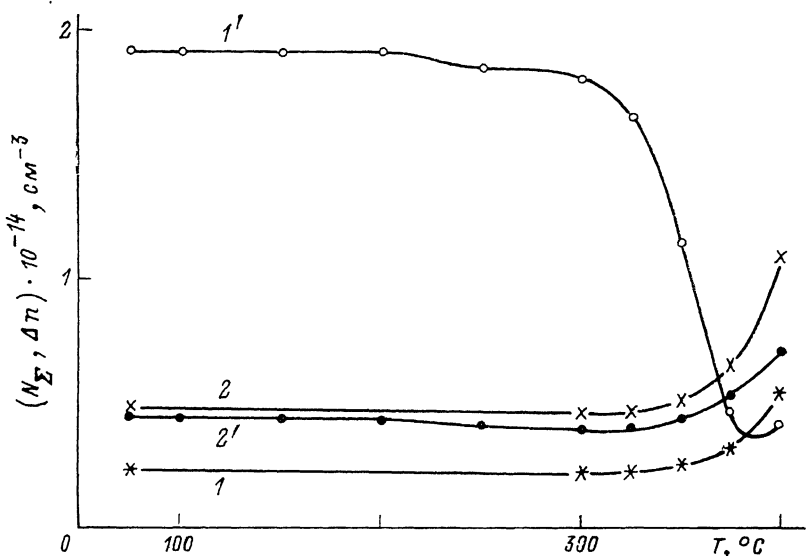


Рис. 1. Зависимости суммарной концентрации  $D_{0.15-0.20}$  (1, 1') и  $\Delta n$  (2, 2') от температуры отжига в исходном (1, 2) и облученном  $\gamma$ -квантами  $^{60}\text{Co}$  (1', 2') кристаллах Si.

$t_{\text{отж}} = 30$  мин,  $\Phi_{06,1} = 2.5 \cdot 10^{17}$  см $^{-2}$ .

дефектов с уровнем  $\sim E_c - 0.17$  эВ ( $A$ -центров и комплексов  $C_I-C_S$ ) и незначительному уменьшению концентрации свободных электронов в области положений уровня Ферми  $E_F - E_F \geqslant E_c - 0.30$  эВ за счет введения глубоких компенсирующих центров (ГКЦ). Поскольку по данным электрических измерений контролировать раздельно концентрации РД с уровнем  $E_c - 0.17$  эВ и ТД достаточно сложно вследствие близкого расположения их уровней, в дальнейшем при анализе результатов по отжигу речь в основном будет идти об изменениях суммарной концентрации ( $N_\Sigma$ ) дефектов с уровнями, лежащими в интервале  $E_c - (0.15 - 0.20)$  эВ ( $D_{0.15-0.20}$ ), а также об изменениях концентрации свободных электронов ( $\Delta n$ ) при  $E_F = E_c - 0.35$  эВ. При данном положении  $E_F$  в равновесных условиях в основном заканчивается ионизация бистабильных ТД [13] и по изменениям  $\Delta n$  при отжиге можно контролировать изменения суммарной концентрации ТД и ГКЦ.

На рис. 1 показано изменение суммарной концентрации  $D_{0.15-0.20}$  и  $\Delta n$  в процессе 30-минутного изохронного отжига для облученного и исходного образцов. В облученном кристалле можно выделить две стадии отжига  $D_{0.15-0.20}$ : 200—250 и 325—375 °C. Некоторое уменьшение  $N_\Sigma$  на первой стадии связано с отжигом комплексов  $C_I-C_S$  и, вероятно, с трансформацией небольшой части  $A$ -центров в ГКЦ [16], на что указывает «отрицательный» отжиг  $\Delta n$ . Основной отжиг  $A$ -центров происходит при  $T > 325$  °C. В этой же области температур становится заметной и генерация термодоноров, что видно из изменений  $N_\Sigma$  и  $\Delta n$  в исходном кремнии. Сравнение концентраций ТД в исходном и облучен-

ном кремнии после отжига при  $400^{\circ}\text{C}$  показывает, что в облученном кристалле термодоноров ввелось заметно меньше. Для дальнейшего изучения данного эффекта нами был проведен изотермический отжиг исходных и облученных образцов при  $T=375^{\circ}\text{C}$ . Данная температура отжига была выбрана исходя из следующих соображений: а) возможности контролировать поведение  $A$ -центров при отжиге (характеристическое время их отжига  $\tau_a=17$  мин при  $375^{\circ}\text{C}$ ), б) возможности исследовать кинетику формирования ТД, не прибегая к очень длительным временем ТО.

На рис. 2 показаны зависимости величин  $N_{\Sigma}$  и  $\Delta n$  от времени ТО при  $375^{\circ}\text{C}$ . Из представленных данных видно, что  $A$ -центры в облученном Si практически полностью отжигаются в течение 1 ч. При больших временах ТО изменение  $N_{\Sigma}$  и  $\Delta n$  происходит только за счет генерации двухзарядных термодоноров. Об этом свидетельствует тот факт, что при  $t_{\text{TO}} > 1$  ч изменения  $\Delta n$  соответствуют удвоенным изменениям  $N_{\Sigma}$  как в исходном, так и облученном Si. На рис. 3, a приведены зависимости скорости генерации термодоноров  $dN_{\text{TD}}/dt$  (полученные путем обычного численного дифференцирования) от времени ТО для этих же кристаллов. Видно, что в результате предварительного облучения скорость генерации ТД при начальных временах ТО существенно снизилась, с ростом длительности ТО различие в значениях  $dN_{\text{TD}}/dt$  для облученного и исходного кристаллов уменьшается.

Ранее нами было показано [17], что на начальных стадиях формирования ТД, т. е. когда суммарная концентрация ТД не превышает 10 % от ее максимальной величины, при  $T_{\text{TO}} \leq 450^{\circ}\text{C}$  вероятности диссоциации термодонорных комплексов или их трансформации в электрически неактивные комплексы незначительны, и в кристаллах Si с  $N_0 \sim 1 \cdot 10^{18} \text{ см}^{-3}$  суммарная скорость генерации ТД определяется скоростью трансформации электрически неактивных зародышей в ТД:

$$\frac{dN_{\text{TD}}}{dt} = k_{\text{ЦЗ}} N_{\text{ПЧ}} N_{\text{ЦЗ}}, \quad (1)$$

где  $N_{\text{ЦЗ}}$  — концентрация центров зарождения (ЦЗ) термодоноров;  $N_{\text{ПЧ}}$  — концентрация подвижных частиц (ПЧ), взаимодействующих с ЦЗ;  $k_{\text{ЦЗ}}$  — константа скорости реакции.

В соответствии с выражением (1) понижение начальной скорости генерации ТД в предварительно облученных кристаллах может быть связано с уменьшением концентрации ПЧ и (или) ЦЗ. Подвижные частицы, как и центры зарождения ТД, непосредственно в электрических измерениях не наблюдаются. Однако, поскольку формирование всего семейства ТД происходит последовательно путем присоединения подвижных частиц одной и той же природы (вероятнее всего одиночных атомов кислорода [9, 17]), информацию о поведении ПЧ можно получить из зависимости суммарной скорости генерации ТД последующих типов от концентрации ТД предыдущего типа [17]:

$$\sum_{m \geq n+1} \frac{dN_m}{dt} = k_n N_{\text{ПЧ}} N_{\text{ТД-}n}, \quad (2)$$

где  $N_{\text{ТД-}n}$  — концентрация ТД  $n$ -го типа,  $k_n$  — константа скорости трансформации ТД- $n$  в ТД- $n+1$ . Выражение (2) действительно при тех же условиях, что и выражение (1).

Бистабильность ТД первых типов и существенное различие в их основных параметрах позволяют раздельно определять концентрации этих центров из электрических измерений [13]. Наиболее точно в исследуемых кристаллах определялась концентрация ТД-2 ( $\beta$ -центров [13, 17]). На рис. 3, б показаны зависимости концентрации ТД-2 от времени ТО при  $375^{\circ}\text{C}$  для исходного и облученного кристаллов. Вычитая концентрацию данных центров из суммарной концентрации ТД (рис. 2, a, кривые 1, 2), легко получить суммарную концентрацию последующих типов ТД<sup>1</sup> для различных времен ТО и на основе

<sup>1</sup> Концентрация ТД-4 ( $\alpha$ -центров [17]) в исследуемых кристаллах не превышала  $3 \times 10^{12} \text{ см}^{-3}$  и их вкладом можно было пренебречь.

уравнения (2) определить значения  $k_2 N_{\text{ПЧ}}$ . Зависимости данной величины от времени ТО показаны на рис. 3, в. Видно, что эти зависимости для исходного и облученного кристаллов идентичны, т. е. предварительное облучение не

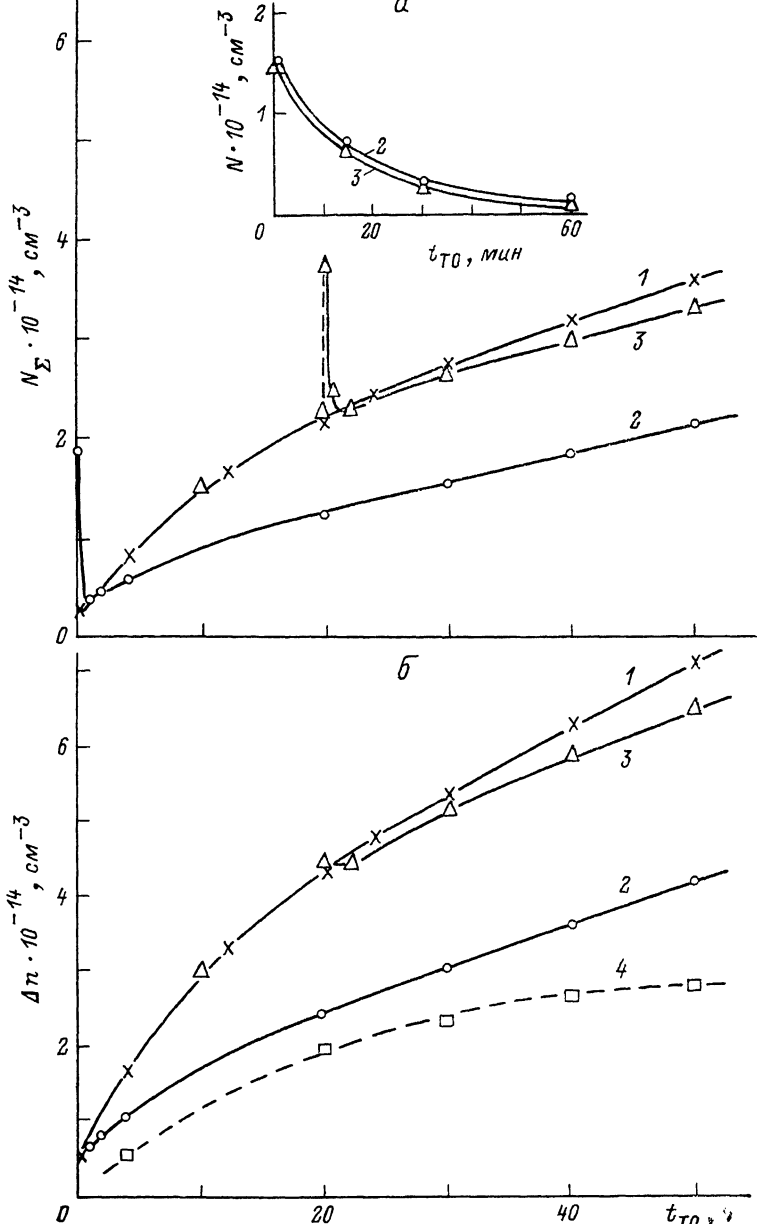


Рис. 2. Зависимости суммарной концентрации  $D_{0.15-0.20}$  (а) и  $\Delta n$  (б) от времени термообработки в исходном (1), облученном  $\gamma$ -квантами  $^{60}\text{Co}$  (2) и облученном  $\gamma$ -квантами  $^{60}\text{Co}$  после предварительной термообработки (3) кристаллах Si.

На вставке показана зависимость концентрации А-центров от времени отжига для тех же облученных кристаллов.  $T_{TO} = T_{ПTO} = 375^\circ\text{C}$ ;  $t_{ПTO} = 20$  ч; 4 — разность значений  $\Delta n$  в исходном и облученном кристаллах.

влияет на концентрацию подвижных частиц. Этот результат вполне естествен, так как  $N_{\text{ПЧ}}$  определяется, как правило, только концентрацией кислорода [9, 17], а изменения  $N_0$  в наших экспериментах не происходило ни при облучении, ни при отжиге РД. Повышенные значения величины  $k_2 N_{\text{ПЧ}}$  при малых временах ТО, вероятнее всего, связаны с существованием в исследуемых кри-

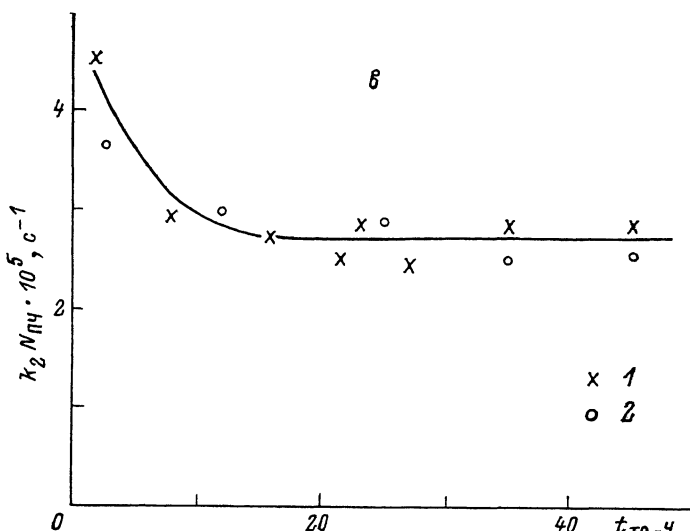
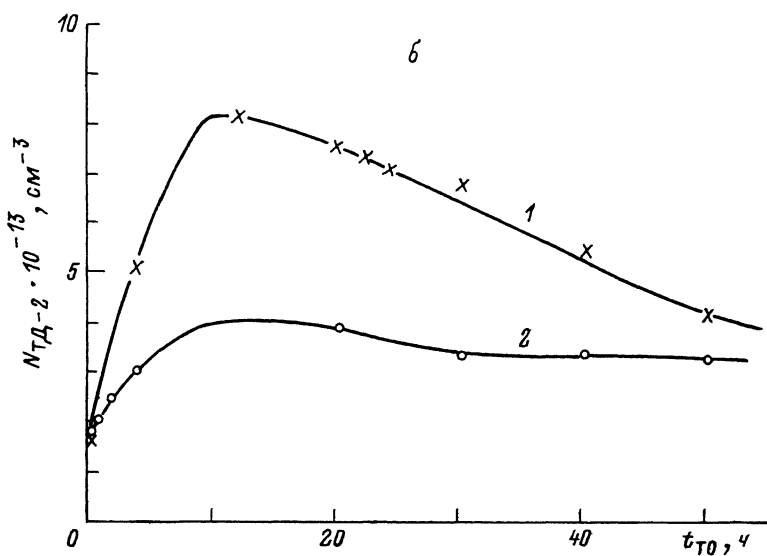
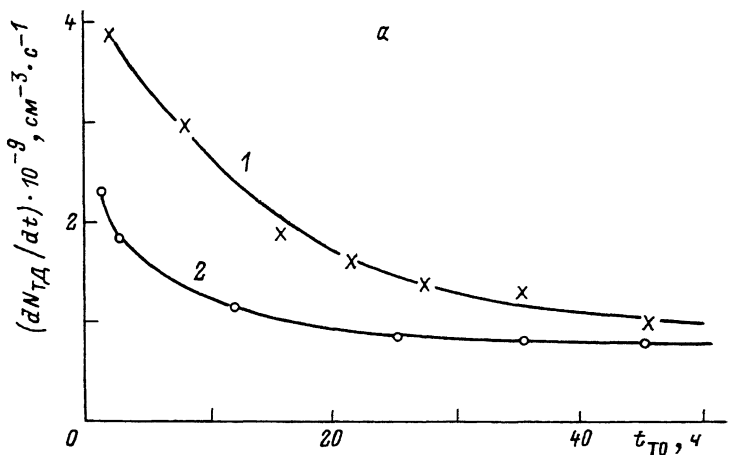


Рис. 3. Зависимости скорости генерации термодоноров (*a*), концентрации ТД-2 (*b*) и величины  $k_2 N_{PPC}$  (*c*) от времени термообработки в исходном (1) и облученном  $\gamma$ -квантами  $^{60}\text{Co}$  (2) кристаллах Si.

$T_{TO} = 375^\circ\text{C}$ .

сталлах областей с высокой локальной концентрацией кислорода или, другими словами, с коррелированным распределением небольшой части атомов O. На начальных этапах ТО происходит эффективное взаимодействие таких атомов с образованием ЦЗ и ТД, что и приводит к повышенным значениям  $k_2 N_{\text{пч}}$ .

Таким образом, из вышеизложенного следует, что снижение начальной скорости генерации ТД в облученном Si обусловлено радиационно-стимулированным уменьшением концентрации центров зарождения ТД. Согласно [17, 18], центры зарождения ТД представляют собой электрически не активные комплексы из трех атомов кислорода. Образуются они в той же области температур, что и термодоноры. Их стационарная концентрация ( $N_{\text{ЦЗ}}^{\text{ст}}$ ) слабо зависит от температуры ТО в области  $T_{\text{TO}} \leq 450^{\circ}\text{C}$  и для кристаллов с  $N_{\text{O}} \sim 1 \cdot 10^{18} \text{ см}^{-3}$

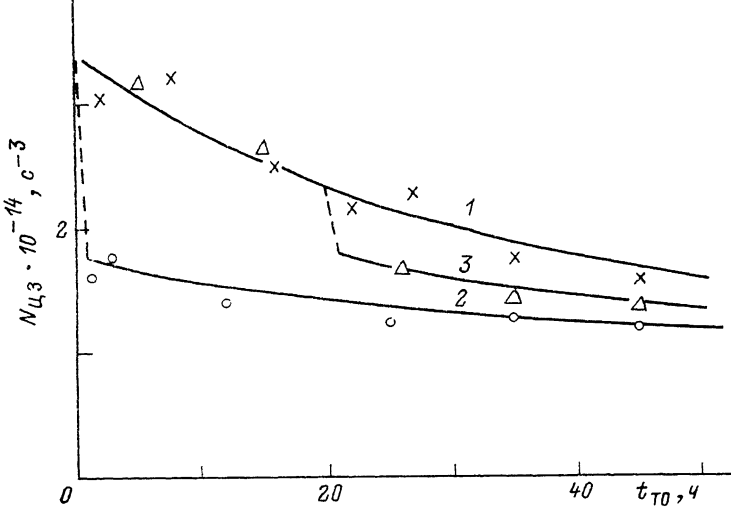


Рис. 4. Зависимости концентрации центров зарождения ТД от времени термообработки в исходном (1), облученном  $\gamma$ -квантами  $^{60}\text{Co}$  (2) и облученном  $\gamma$ -квантами  $^{60}\text{Co}$  после предварительной термообработки (3) кристаллах Si.

$$T_{\text{TO}} = T_{\text{ПТО}} = 375^{\circ}\text{C}, t_{\text{ПТО}} = 20 \text{ ч.}$$

составляет  $(1-2) \cdot 10^{14} \text{ см}^{-3}$ . Исходные кристаллы Si, как правило, содержат «ростовые» ЦЗ, причем их концентрация может существенно превышать  $N_{\text{ЦЗ}}^{\text{ст}}$ , что опять-таки связано с существованием коррелированного распределения атомов кислорода и ускоренным образованием ЦЗ в процессе охлаждения выращиваемых слитков. Характеристическое время достижения стационарной концентрации ЦЗ при последующих ТО значительно превосходит аналогичные величины для ТД первых типов, в силу чего начальная кинетика формирования термодоноров во многом определяется поведением центров зарождения ТД.

Оценить концентрацию ЦЗ в исследуемых кристаллах и ее изменения в результате облучения и последующих ТО можно следующим образом. В [17-18] показано, что величины  $k_2 N_{\text{пч}}$  и  $k_{\text{ЦЗ}} N_{\text{пч}}$  имеют практически одинаковые температурные зависимости, а отношение констант  $k_2/k_{\text{ЦЗ}}$  близко к 3, т. е.  $k_{\text{ЦЗ}} N_{\text{пч}} \approx 0.3 k_2 N_{\text{пч}}$ . Это позволяет определить концентрации ЦЗ для различных времен ТО по формуле (1) на основании данных, приведенных на рис. 3, а и в. Полученные таким образом зависимости  $N_{\text{ЦЗ}}$  от времени ТО приведены на рис. 4. В исходном кремнии наблюдается типичное [17, 18] экспоненциальное уменьшение  $N_{\text{ЦЗ}}$  к своему стационарному значению  $N_{\text{ЦЗ}}^{\text{ст}}$  с увеличением длительности ТО. В то же время в облученном Si значения  $N_{\text{ЦЗ}}$  при всех временах ТО близки к величине  $N_{\text{ЦЗ}}^{\text{ст}}$ . Разница в  $N_{\text{ЦЗ}}$  для исходного и облученного кристаллов максимальна при начальных временах ТО и составляет около  $1.5 \times 10^{14} \text{ см}^{-3}$ , что сравнимо с концентрацией введенных облучением A-центров. Маловероятно, что такое существенное уменьшение  $N_{\text{ЦЗ}}$  могло произойти непосредственно в процессе облучения, поскольку концентрация основных

стоков для  $V$ ,  $I$  и  $C_I$ , каковыми являются одиночные атомы кислорода и углерода, намного превышает  $N_{\text{ЦЗ}}$ . Об этом свидетельствуют и результаты работ<sup>[15, 16]</sup>, в которых показано, что термическая предыстория кристаллов  $n\text{-Si}$  не оказывает заметного влияния на эффективность образования основных РД при  $T_{\text{отж}} \sim 300$  К. Вероятнее всего, «пассивация» центров зарождения происходит в процессе отжига РД при 375 °C.

Основными РД в исследуемых кристаллах ( $N_0 \gg N_P$ ,  $N_C$ ) являются  $A$ -центры и комплексы  $C_I-O_I$  ( $E$ -центров и комплексов  $C_I-C_S$  вводилось очень мало, см. рис. 1). Отжиг комплекса  $C_I-O_I$ , донорный уровень которого расположен у  $E_c+0.35$  эВ и по электрическим измерениям в  $n\text{-Si}$  не наблюдается, нами не контролировался. Однако известно<sup>[20]</sup>, что данный комплекс отжигается в той же области температур, что и  $A$ -центр. Механизм отжига  $A$ -центров, так и комплексов  $C_I-O_I$ , к настоящему времени однозначно не установлен. Согласно<sup>[20, 21]</sup>, наиболее вероятными процессами при  $T_{\text{отж}} > 350$  °C являются их диссоциация и уход  $V$  и  $C_I$  на стоки. Очевидно, что одним из таких стоков могут быть центры зарождения ТД (комpleксы  $O_3$ <sup>[17, 18]</sup>). Сказать определенно, какой из дефектов,  $V$  или  $C_I$ , взаимодействует с ЦЗ, на основе полученных данных нельзя. По-видимому, пассивация центров зарождения возможна в результате их трансформации как в комплексы  $VO_3$ , так и в комплексы  $C_I O_3$ . Образование электрически не активных комплексов  $VO_3$  наблюдалось методом ИК поглощения при отжиге облученных кристаллов  $\text{Si}\langle O \rangle$  в области температур  $T \geq 400$  °C<sup>[5]</sup>, причем было установлено, что эти центры не участвуют в процессах формирования ТД. С другой стороны, известно, что при термообработке кристаллов  $\text{Si}\langle O \rangle$  в области температур 400–500 °C наряду с ТД образуется ряд центров излучательной рекомбинации<sup>[22]</sup>. Эффективность образования этих центров резко увеличивается в предварительно облученных кристаллах<sup>[6, 22]</sup>. Авторами<sup>[23]</sup> показано, что один из таких центров, а именно центр, ответственный за линию фотолюминесценции при 0.767 эВ ( $P$ -линию), представляет собой комплекс  $C_I O_n$ , где  $n \geq 2$ . Если  $n=3$ , то образование данных центров может происходить путем захвата подвижных  $C_I$  центрами зарождения ТД.

Поскольку отжиг РД в кристаллах  $n\text{-Si}$  сопровождается трансформацией значительной части центров зарождения ТД в другие комплексы, то аналогичного процесса можно было бы ожидать и для самих термодоноров. Для выяснения данного вопроса мы провели облучение и отжиг образцов, прошедших перед облучением предварительную термообработку (ПТО) при 375 °C в течение 20 ч. В результате ПТО концентрация ТД выросла до  $2.2 \cdot 10^{14}$  см<sup>-3</sup>, а концентрация ЦЗ уменьшилась с  $3.5 \cdot 10^{14}$  до  $2.3 \cdot 10^{14}$  см<sup>-3</sup> (рис. 2 и 4). При последующем облучении этих кристаллов  $\gamma$ -квантами  $^{60}\text{Co}$  не было выявлено никаких особенностей в процессах радиационного дефектообразования: эффективности введения как ГКЦ, так и РД с уровнем  $E_c-0.17$  эВ практически не отличались от таковых в исходном кремнии. Этот результат подтверждает известный вывод о том, что термодоноры не являются эффективными ловушками для  $V$ ,  $I$  и  $C_I$  в области комнатных температур. С другой стороны, проведенный изотермический отжиг облученных образцов при 375 °C показал (рис. 2, а, б, кривые 3), что заметного изменения концентрации ТД не происходит и при отжиге РД, т. е. термодоноры в отличие от центров зарождения не являются эффективными стоками для подвижных компонент отжигающихся РД. Об этом свидетельствует и одинаковый характер отжига  $A$ -центров (см. вставку на рис. 2) в кристаллах с различным содержанием ТД (исходных и прошедших ПТО). Следует отметить, что в кристаллах, прошедших ПТО, доля ЦЗ, исключаемых из дальнейшего процесса генерации ТД в результате облучения, заметно снизилась по сравнению с исходным кремнием (рис. 4). Такое уменьшение эффективности пассивации ЦЗ может быть связано с образованием в результате ПТО других, отличных от ЦЗ и ТД, кислородных комплексов, являющихся ловушками или центрами аннигиляции для отжигающихся РД.

Таким образом, в настоящей работе впервые показано, что предварительное облучение кристаллов  $n\text{-Si}\langle O \rangle$  может приводить к существенному уменьшению начальной скорости генерации ТД при последующих термообработках. Данный эффект обусловлен радиационно-стимулированной пассивацией ро-

стовых центров зарождения термодоноров. В то же время, как показано в [11], предварительное облучение кристаллов  $n\text{-Ge}\langle\text{O}\rangle$  приводит к увеличению начальной скорости генерации ТД, что, по-видимому, связано с радиационно-стимулированным образованием ЦЗ. Поскольку как природа, так и механизм образования ТД в Si и Ge идентичны, такой противоположный эффект облучения, скорее всего, связан с различием в процессах образования и отжига РД в этих материалах.

### С п и с о к л и т е р а т у р ы

- [1] Helmreich D., Sirtl E. // Semiconductor Silicon 1977 / Ed. by H. R. Huff, E. Sirtl. Princeton, 1977. P. 626—636.
- [2] Newman R. C., Oates A. S., Livingston F. M. // J. Phys. C: Sol. St. Phys. 1983. V. 16. N 19. P. L667—L674.
- [3] Mathiot D. // Appl. Phys. Lett. 1987. V. 51. N 12. P. 904—906.
- [4] Benton J. L., Kimerling L. C., Stavola M. // Physica. 1983. V. 116B. N 1-3. P. 271—275.
- [5] Lindström J. L., Svensson B. G. // Mater. Res. Soc. Symp. Proc. 1986. V. 59. P. 45—58.
- [6] Henry A., Saminadayar K., Pautrat J. L., Magnea N. // Phys. St. Sol. (a). 1988. V. 107. N 1. P. 101—110.
- [7] Литвинов В. В., Пальчик Г. В., Уренев В. И. // ФТП. 1990. Т. 24. В. 2. С. 376—378.
- [8] Емцев В. В., Далуда Ю. Н., Шаховцов В. И., Шиндиц В. Л., Неймаш В. Б., Антоненко Р. С., Шмальц К. // ФТП. 1990. Т. 24. В. 2. С. 374—376.
- [9] Мурин Л. И., Маркевич В. П. // ФТП. 1988. Т. 22. В. 7. С. 1324—1328.
- [10] Fukuoka N., Nakata K., Honda M., Atobe K., Kawakubo T. // Defect Control in Semiconductors / Ed. by K. Sumino. Amsterdam, 1990. P. 547—552.
- [11] Litvinov V. V., Palchik G. V., Urenev V. I. // Phys. St. Sol. (a). 1989. V. 115. N 1. P. K9—K12.
- [12] Ильин М. А., Коварский В. Я., Орлов А. Ф. // Завод. лаб. 1984. Т. 50. № 1. С. 24—32.
- [13] Макаренко Л. Ф., Маркевич В. П., Мурин Л. И. // ФТП. 1985. Т. 19. В. 11. С. 1935—1939.
- [14] Коршунов Ф. П., Маркевич В. П., Медведева И. Ф., Мурин Л. И. // Радиационное материаловедение. Т. 4. Харьков, 1990. С. 161—166.
- [15] Неймаш В. Б., Сирацкий В. М., Соснин М. Г., Шаховцов В. И., Шиндиц В. Л. // ФТП. 1989. Т. 23. В. 2. С. 250—252.
- [16] Korshunov F. P., Makarenko L. F., Markevich V. P., Medvedeva I. F., Murin L. I. // Defect Control in Semiconductors / Ed. by K. Sumino. Amsterdam, 1990. P. 541—545.
- [17] Murin L. I., Markevich V. P. // Defect Control in Semiconductors / Ed. by K. Sumino. Amsterdam, 1990. P. 199—210.
- [18] Маркевич В. П., Мурин Л. И. // ФТП. 1991. Т. 25. В. 2. С. 262—266.
- [19] Markevich V. P., Makarenko L. F., Murin L. I. // Mater. Sci. Forum. 1989. V. 38-41. Pt. 2. P. 589—593.
- [20] Svensson B. G., Lindström J. L. // Phys. St. Sol. (a). 1986. V. 95. N 2. P. 537—542.
- [21] Svensson B. G., Lindström J. L. // Phys. Rev. B. 1986. V. 34. N 12. P. 8709—8717.
- [22] Minaev N. S., Mudryi A. V. // Phys. St. Sol. (a). 1981. V. 68. N 2. P. 561—565.
- [23] Kürner W., Sauer R., Dörner A., Thonke K. // Phys. Rev. B. 1989. V. 39. N 18. P. 13327—13337.

Институт физики твердого тела и  
полупроводников АН БССР  
Минск

Получена 15.04.1991  
Принята к печати 17.06.1991